

ВОСПЛАМЕНЕНИЕ ГАЗОВЗВЕСЕЙ В РЕЖИМЕ ВЗАИМОДЕЙСТВУЮЩИХ КОНТИНУУМОВ

А. В. Федоров

Институт теоретической и прикладной механики СО РАН, 630090 Новосибирск

Предложена математическая модель, описывающая течение смеси газов и реагирующих твердых частиц, принимающая во внимание гетерогенную химическую реакцию воспламенения. Замыкание модели проводится за счет привлечения уравнения кинетики нарастания окисной пленки. Считается, что тепло химической реакции может выделяться в обеих фазах в соответствии с аккомодационными коэффициентами. В рамках предложенной модели изучена задача о воспламенении неподвижного облака магниевых частиц. Найдены условия существования различных режимов нагрева облака, в том числе регулярного и воспламенительного. Проведена верификация модели по экспериментальной зависимости предельной температуры среды от радиуса частиц. Приведены данные по зависимости параметров нагреваемого облака частиц от физико-химических постоянных смеси и частиц.

Изучение воспламенения газовзвесей актуально в связи с проблемами взрывопожаробезопасности промышленных пылей. С точки зрения общей теории гетерогенных сред, частным случаем которых является газовзвесь мелких твердых частиц и газа, математическое и физическое описание движений аэрозвесей возможно в двух приближениях. Первое — это режим одиночных частиц, когда движение и нагрев дискретной фазы осуществляются на фоне известного поля течения газа. Это описание справедливо для газовзвесей с достаточно малым содержанием пыли. Второй подход основан на предположении, что частиц достаточно много и они могут оказывать обратное влияние на газ, как динамическое так и тепловое. Ранее [1–4] были предложены математические модели воспламенения и горения газовзвесей в динамических условиях за проходящими и отраженными ударными волнами, которые принимали во внимание различие скоростей и температур фаз, гетерогенную химическую реакцию низкотемпературного окисления. Для замыкания этой модели на стадии воспламенения принималось, что размер частицы приближенно равен начальному и что тепло химической реакции выделяется только в конденсированной фазе. Ниже развита модель воспламенения аэрозвеси, свободная от этих предположений.

ОСНОВНЫЕ УРАВНЕНИЯ

Рассмотрим, как и в [1], на основе общего подхода, развитого в [5], трехкомпонентную

двухфазную смесь, в которой протекает химическая реакция, описываемая стехиометрическим соотношением

$$\nu_{11}g_{11} + \nu_{22}g_{22} = \nu_{23}g_{23} + \nu_{13}g_{13},$$

где ν_i, g_i — стехиометрические коэффициенты и молекулярные массы фаз и компонентов. Считается, что газ представляет собой смесь, состоящую из окислителя ($i = 11$), инертного компонента ($i = 12$) и газообразных продуктов окисления ($i = 13$), металла ($i = 22$) и конденсированных продуктов окисления ($i = 23$). Всюду далее $\nu_i \equiv \nu_i g_i, \nu_2 \equiv \nu_{22}$.

Уравнения сохранения массы фаз и компонентов имеют вид

$$\begin{aligned} \partial_t \rho_i + \partial_x \rho_i u_i &= (-1)^{i+1} \bar{\nu}_2 J, \quad i = 1, 2, \\ \partial_t n + \partial_x n u_2 &= 0, \quad \rho_1 \partial_t \xi_{11} = -(\nu_{11} + \nu_2 \xi_{11}) J, \\ \frac{\nu_{11} + \bar{\nu}_2 \xi_{11}}{\nu_{11} + \bar{\nu}_2 \xi_{11,0}} &= \frac{\xi_{12}}{\xi_{12,0}}, \quad \sum \xi_{1i} = 1, \\ \sum \xi_{2i} &= 1, \quad \frac{\xi_{22}(\bar{\alpha} - \xi_{22,0})}{\xi_{22,0}(\alpha - \xi_{22})} = \bar{r}^3, \\ \alpha &= \frac{\nu_2}{\nu_2}, \quad \bar{r} = \frac{r}{r_0}, \quad R^3 - R_0^3 = a(r^3 - r_0^3), \\ a &= 1 - \frac{\nu_3 \rho_{22}^0}{\nu_2 \rho_{23}^0}, \quad \nu_2 = \nu_2 - \nu_3. \end{aligned} \tag{1}$$

Здесь $\rho_1 = m_1 \sum \rho_{1j}^0, \rho_2 = m_{22} \rho_{22}^0 + m_{23} \rho_{23}^0 = m_2 \rho_2^0$ — средние плотности газовой и конденсированной фаз, ρ_{1j}^0 — истинная плотность

j -газового компонента, ρ_2^0 — кажущаяся истинная плотность конденсированной фазы (к-фазы); m_j ($j = 1, 2$), m_{2j} ($j = 2, 3$) — объемные концентрации газов, к-фазы, металла и окисла; n — количество частиц в единице объема; $R = h + r$, r — радиус частицы, h — толщина окисной пленки; $\xi_{ji} = \rho_{ji}/\rho_j$, $j = 1, 2$, $i = 1, 2, 3$; u_j — скорость фаз; $\partial_t = \partial/\partial t$, $\partial_x = \partial/\partial x$, $\partial_j = \partial_t + u_j \partial_x$; индексом нуль отмечено начальное состояние; первая цифра в индексе из двух цифр означает номер фазы.

Выражение J через локальные характеристики течения таково:

$$J = -4\pi\rho_{22}^0 \frac{nr_2}{\nu_2} \partial_2 r = -\frac{3}{r} \frac{\rho_{22}}{\nu_2} \partial_2 r. \quad (2)$$

Функция источников J должна быть определена как функция средних величин течения. В эксперименте, как правило, имеется информация о скоростях превращения отдельной мелкой частицы. Это данные либо о линейной скорости горения частицы, которую можно получить из эмпирического закона Срезневского, либо о скорости роста толщины окисной пленки. Именно поэтому необходимо получить выражение для J типа (2). Для этого предполагаем, что в процессе химического превращения частица представляет собой металлическое ядро радиусом r , покрытое окисной пленкой толщиной h , т. е. радиус частицы $R = r + h$. При этом считалось, что мельчайшие частички оксида осаждаются на более крупную частицу металла. Кроме того, использовались уравнения сохранения числа частиц и одно из уравнений неразрывности для к-фазы. Также на основе этих уравнений можно найти и последний из интегралов в (1).

Уравнения сохранения импульса фаз записываются в виде

$$\partial_t \rho_i u_i + \partial_x (\rho_i u_i^2 + m_i p) = p \partial_x m_i + (-1)^{i+1} \nu_2 J + R_i, \quad i = 1, 2, \quad (3)$$

где R_i — сила, действующая на соответствующую фазу.

Уравнения сохранения энергии фаз записываются в виде

$$\begin{aligned} \partial_t \rho_i E_i + \partial_x (\rho_i u_i E_i + m_i p u_i) = \\ = -p \partial_t m_i + (-1)^{i+1} \nu_2 J \left(-k_i + i_i + \frac{u_i^2}{2} \right) + \\ + R_i (\beta u_1 + \beta u_2) + Q_i, \quad i = 1, 2. \quad (4) \end{aligned}$$

Здесь $E_i = e_i + u_i^2/2$, e_i — внутренняя энергия фаз; β — аккомодационный коэффициент силового взаимодействия фаз, $\beta = 1 - \beta$; p — давление смеси; Q_i — функция, описывающая тепловое взаимодействие фаз. Поскольку уравнение

сохранения полной энергии смеси не содержит источников, имеем основное энергетическое равенство [5] механики реагирующих гетерогенных сред:

$$k_1 + k_2 = i_1 + i_2,$$

где k_i — аккомодационные коэффициенты, подлежащие определению, i_i — энтальпия фазы. Тепло, выделяемое при химической реакции, есть

$$q_* = \nu_{11} i_{11} + \nu_{22} i_{22} - \nu_{23} i_{23} - \nu_{13} i_{13}.$$

От уравнений сохранения полных энергий фаз (4) можно перейти к уравнениям притока тепла, которые имеют неоднородные члены, описывающие источники тепла: работу сил трения между фазами; кинетическую энергию масс, претерпевающих фазовые превращения (передается только в газ); теплообмен между фазами (Q_i); работу сил давления, возникающую от изменения удельного объема фаз. Отметим, что для частиц это вариация кажущейся истинной плотности частиц.

Для определения k_i допустим, что в газе выделяется тепло, равное $\alpha_1 q_*$, а в частицах — $\bar{\alpha}_1 q_* = (1 - \alpha_1) q_*$. Переходя в уравнениях притока тепла к энтальпиям и используя в них представление правых частей для определения k_i , получим уравнения

$$\begin{aligned} (\nu_{11} + \bar{\nu}_2 \xi_{11}) i_{11} + \bar{\nu}_2 \xi_{12} i_{12} - \\ - (\nu_{13} + \bar{\nu}_2 \xi_{13}) i_{13} - \bar{\nu}_2 k_1 = \alpha_1 q_*. \end{aligned}$$

$$(\nu_2 - \bar{\nu}_2 \xi_{22}) i_{22} - (\nu_2 - \nu_2 \xi_{22}) i_{23} - \bar{\nu}_2 k_2 = \alpha_1 q_*.$$

Решение этой системы уравнений имеет вид

$$k_1 = [-\alpha_1 q_* + (\nu_{11} + \bar{\nu}_2 \xi_{11}) i_{11} + \nu_2 \xi_{12} i_{12} - (\nu_{13} - \nu_2 \xi_{13}) i_{13}] / \nu_2,$$

$$k_2 = i_1 - i_2 - k_1.$$

Тем самым аккомодационные коэффициенты определены.

Уравнения состояния фаз (УРС) нетрудно выразить через средние характеристики течения взвеси:

$$p = \frac{\rho_1 T_1 R}{m_1} \left(\sum \frac{\xi_{1i}}{\mu_i} \right), \quad m_1 + m_2 = 1,$$

$$m_2 = \frac{\rho_2}{\rho_2^0}, \quad \rho_{2j}^0 = \text{const}, \quad j = 2, 3,$$

$$\rho_2^0 = \frac{\rho_{22}^0 r^3 + (R^3 - r^3) \rho_{23}^0}{R^3} \equiv \rho_2^0(r),$$

$$e_1 = c_{v1} \Delta T_1 + h_1^0, \quad c_{v1} = \sum \xi_{1i} c_{vi}, \quad (5)$$

$$h_1^0 = \sum \xi_{1i} h_{1i}^0, \quad \Delta T_i = T_i - T^0,$$

$$e_2 = c_2 \Delta T_2 + h_2^0, \quad c_2 = \sum \xi_{2j} c_{2j},$$

$$h_2^0 = \sum \xi_{2i} h_{2i}^0, \quad \Delta T_j = T_j - T^0, \quad j = 2, 3,$$

T^0 — значение равновесной температуры в стандартном состоянии; $h_{i_j}^0$ — теплоты образования фаз и компонентов; c_{p1} — теплоемкость смеси газов, c_{p_j} — компонента газовой фазы; c_2 — теплоемкость конденсированной фазы, c_{2j} — компонента твердой фазы.

В качестве искомым будем считать 11 компонентов вектор-функции $\Phi(\rho_i, u_i, T_i, p, r, \xi_{11}, h, n)$, для определения которых служат: семь дифференциальных уравнений в частных производных, выражающих законы сохранения массы, импульса и энергии фаз и компонентов в (1), одно уравнение состояния из (5), алгебраическая связь между r, h , выражаемая последним из уравнений (1), и, наконец, замыкает математическую модель кинетическое уравнение роста окисной пленки

$$\partial_2 h = G(h, T_2, \dots). \quad (6)$$

Итак, система уравнений (1)–(6) для определения 11 искомым функций вектора решения Φ является замкнутой.

Замечание. Количество дифференциальных уравнений в (1)–(6) может быть сокращено за счет интеграла (представления)

$$\frac{n}{n_0} = \frac{\rho_2 \xi_{22}}{\rho_{20} \xi_{22,0} r^3}.$$

В качестве приложения рассмотрим следующую задачу.

ВОСПЛАМЕНЕНИЕ ГАЗОВЗВЕСИ В КОНТИНУАЛЬНОМ РЕЖИМЕ

Точечная модель и ее преобразования

Рассмотрим облако частиц магния, равномерно заполняющее единичный объем, который через стенки сосуда обменивается теплом с окружающей средой, нагретой до температуры \bar{T} . При изменении начальных параметров облака и характеристик внешнего воздействия газовзвесь может проявлять различные типы тепловой динамики. Установим их на основе точечной модели вышеприведенных уравнений, дополненной учетом теплообмена с внешней средой:

$$d_t \rho_i = (-1)^{i+1} \bar{\nu}_2 J, \quad i = 1, 2,$$

$$d_t \xi_{11} = -(\nu_{11} + \bar{\nu}_2 \xi_{11}) J, \quad \frac{\xi_{22}(\alpha - \xi_{22,0})}{\xi_{22,0}(\alpha - \xi_{22})} = \bar{r}^3,$$

$$\frac{\nu_{11} + \bar{\nu}_2 \xi_{11}}{\nu_{11} + \bar{\nu}_2 \xi_{11,0}} = \frac{\xi_{12}}{\xi_{12,0}}, \quad \sum \xi_{1i} = 1,$$

$$\sum \xi_{2i} = 1, \quad R^3 - R_0^3 = a(r^3 - r_0^3), \quad (7)$$

$$d_t(\rho_1 e_1 + \rho_2 e_2) = -S k(T_1 - \bar{T}),$$

$$\rho_2 d_t e_2 - \frac{m_2 p}{\rho_0^2} d_t \rho_0^2 = -\bar{\nu}_2 k_2 J + Q_2,$$

$$Q_2 = -m_2 \frac{3}{R} \alpha_{12}(T_2 - T_1),$$

где k — коэффициент теплопередачи от газа к трубе, α_{12} — коэффициент теплопередачи от газа к частице, S — внутренняя поверхность трубы. Складывая уравнения неразрывности фаз, найдем первый интеграл — закон сохранения массы смеси в целом:

$$\rho_1 + \rho_2 = \rho_{10} + \rho_{20} = C_1. \quad (8)$$

Подставляя в уравнение неразрывности к-фазы выражение для J , получим уравнение с разделяющимися переменными, допускающее интеграл:

$$\frac{\rho_2}{\rho_{2,0}} = \frac{\alpha + \xi_{22,0}(r^3 - 1)}{\alpha}. \quad (9)$$

Используя (8), (9), нетрудно получить зависимость средней плотности газа от радиуса частицы:

$$\frac{\rho_1}{\rho_{1,0}} = \frac{\alpha - \rho_{21}^0 \xi_{22,0}(r^3 - 1)}{\alpha}, \quad \rho_{21}^0 = \frac{\rho_{2,0}}{\rho_{1,0}}. \quad (10)$$

Выражение (10), подставленное в третье из (1), позволяет найти интеграл и этого уравнения:

$$\frac{\nu_{11} + \bar{\nu}_2 \xi_{11}}{\nu_{11} + \bar{\nu}_2 \xi_{11,0}} = \frac{\alpha}{\alpha - \rho_{21}^0 \xi_{22,0}(r^3 - 1)}. \quad (11)$$

Таким образом, средние плотности и относительные концентрации фаз и компонентов выражены в явном виде через относительный радиус частицы.

Преобразование уравнений энергии фаз. Уравнение сохранения энергии частиц, т. е. предпоследнее из (1), в энтальпийной форме таково:

$$\rho_2 \sum \xi_{2j} d_t i_{2j} - m_2 d_t p = J \bar{\alpha}_1 q_*. \quad (12)$$

Имея представления

$$i_{2j} = c_{2j}(T_2 - T^0) + \frac{p}{\rho_{2j}^0} + h_{2j}^0, \quad j = 2, 3,$$

и подставляя их в (12), получим следующую форму записи уравнения энергии для твердых частиц:

$$\rho_2 c_2 d_t T_2 = Q_2 + J \bar{\alpha}_1 q_*. \quad (13)$$

Аналогично выписывается и уравнение сохранения газа:

$$\rho_1 c_p d_i T_1 = Q_1 + J \alpha_1 q_* - Sk(T_1 - \tilde{T}). \quad (14)$$

Дополним (13), (14) кинетическим уравнением нарастания окисной пленки и геометрической связью R и r :

$$d_i h = K \exp\left(-\frac{E}{RT}\right), \quad R^3 - R_0^3 = a(r^3 - r_0^3). \quad (15)$$

Система уравнений (13)–(15) для трех неизвестных функций T_1, T_2, r является замкнутой.

Асимптотическое приближение математической модели (13)–(15). Воспользуемся тем обстоятельством, что в процессе химического превращения в предвоспламенительный период, толщина окисной пленки меняется весьма слабо, т. е. $h/r \ll 1$. Разлагая последнее из (15) в ряд и ограничиваясь линейным приближением, находим представление

$$(a-1)(r-r_0) = h-h_0, \quad (16)$$

откуда

$$d_i r = (a-1)^{-1} d_i h = \frac{K}{a-1} \exp\left(-\frac{E}{RT}\right). \quad (17)$$

Отметим, что поскольку толщина окисной пленки мало меняется, коэффициенты в уравнениях (13), (14) можно на первом этапе исследования «заморозить», а в определении источника члена J для магнелиевых частиц будем использовать представление (17). Это позволяет для двух искомым функций — температур газа и твердых частиц — представить асимптотическую модель

$$\rho_2 c_2 d_i T_2 = -a_1(T_2 - T_1) + b \exp\left(-\frac{E}{RT_2}\right) \equiv A(T_2, T_1), \quad (18)$$

$$\rho_1 c_{p1} d_i T_1 = a_1(T_2 - T_1) - c(T_1 - \tilde{T}) \equiv B(T_2, T_1),$$

где $a_1 = m_2 \frac{3}{K} \alpha_{12}$, $b = \frac{3\rho_{22}K}{R\nu_2(1-a)} q_*$, $c = Sk$.

Уравнения (18) должны удовлетворять начальным данным

$$T_2(0) = T_{2,0}, \quad T_1(0) = T_{1,0}. \quad (19)$$

Эти условия описывают различные возможные варианты теплового воздействия на облако. Например, если частицы вбрасываются в некоторый объем с высокой температурой содержащегося в нем газа, то $T_{2,0} < T_{1,0}$.

В процессе тепловой эволюции облака частиц температура может меняться регулярно

или нерегулярно. Это зависит от вида многообразия катастроф (воспламенений), к исследованию которого переходим.

Нулевые изоклины уравнений (18). Приравняв нулю правые части (18), имеем систему уравнений для определения стационарных точек изучаемой математической модели:

$$\Delta T_1 = \frac{a_1}{a_1+c} \Delta T_2, \quad \Delta T_i = T_i - \tilde{T}, \quad (20)$$

$$b \exp\left(-\frac{E}{RT_2}\right) = a_1 \frac{c}{c+a_1} \Delta T_2.$$

Последнее уравнение, продифференцированное по T_2 , позволяет получить линии складки на многообразии катастроф/воспламенений. В изучаемом случае воспламенения облака дважды вырожденные критические точки на этом многообразии совпадают с аналитическим выражением условия Семенова:

$$\alpha = a_1 \frac{c}{(c+a_1)b} = \alpha_- = \Delta T_{2-} \exp\left(-\frac{E}{RT_{2-}}\right)$$

и ранее обсуждались в [6]. Здесь ΔT_{2-} — меньший корень уравнения

$$G(T_2) = \frac{E}{RT_2^2} \Delta T_2 + 1 = 0.$$

Из общей теории теплового взрыва известно, что последнее уравнение из (20) представляет собой неоднозначную кривую в плоскости параметров (T_2^0, α) для диапазона $\alpha \in (\alpha_-, \alpha_+)$. Ее свойства подробно описаны, например, в [7, 8].

Матрица Якоби, собственные числа. Матрица Якоби в стационарных точках системы (19) имеет вид

$$J = \begin{vmatrix} A_{1,T_2} = -a_2 u(G+v) & A_{1,T_1} = a_2 \\ B_{1,T_2} = \xi a_2 & B_{1,T_1} = \frac{\xi a_2}{uv} \end{vmatrix},$$

где $u = c/(a_1+c)$, $v = a_1/c$, $\xi = \rho_2 c_2 / \rho_1 c_{p1}$, $a_2 = a_1 / \rho_2 c_2$. Собственные числа этой матрицы $\tilde{\lambda}$ найдутся из уравнения ($\lambda = \tilde{\lambda}/a_2$)

$$\lambda^2 + \text{tr} J \lambda + \det J = 0, \quad (21)$$

где $\text{tr} J = u(G+d)$, $\det J = \xi G/v$, $d = v(1+\xi/u^2 v^2)$. Существование корней уравнения (21) зависит от знака дискриминанта $D(G) = \text{tr} J^2 - 4 \det J = G^2 + 2Gl + d^2$, где $l = v(1-\xi/u^2 v^2)$. Рассмотрим его как функцию аргумента G . Ее знак, в свою очередь, определяется знаком величины $D_1 = -2\xi/u^2$, которая является неположительной. Отсюда видно, что дискриминант — функция положительная. Следовательно, корни (21) всегда действительны.

Рассмотрим поведение $\det J(T_2)$ в зависимости от принадлежности точки T_2 кривой стационарных состояний. Нетрудно показать, что

$$\det J \begin{cases} > 0, & T_2 \in (0, T_-) = A, & T_2 \in (T_-, \infty) = C, \\ \leq 0, & T_2 \in (T_-, T_+) = B. \end{cases}$$

На основании вышеизложенного можно сформулировать

УТВЕРЖДЕНИЕ 1. Собственные числа уравнения (21) при $T_2 \in A$, $T_2 \in B$ оба отрицательны; при $T_2 = T_{+,-}$ одно из собственных чисел равно нулю, второе отрицательно; при $T_2 \in (T_-, T_+)$ собственные числа разных знаков.

Отсюда следует, что на A , B стационарные точки уравнений являются устойчивыми узлами, а на промежуточной ветви стационарные точки суть седла, для $T = T_-, T_+$ это выродившиеся узлы.

Начальная и краевая задачи для (18), (19)

На основании утверждения 1 можно описать возможные типы решений задач для (18), (19). Вначале остановимся на решении краевой задачи для уравнения, определяющего температуру газовой фазы как функцию температуры к-фазы. Оно получается делением первого из уравнений (18) на второе. Для него можно поставить вспомогательную краевую задачу, которая позволит дать классификацию типов тепловой динамики частицы:

$$T_2(T_1) = T^A, \quad T_1 = \frac{a_1}{a_1 + c} \Delta T^A + \tilde{T},$$

$$T_2(T_1) = T^B, \quad T_1 = \frac{a_1}{a_1 + c} \Delta T^B + \tilde{T}.$$

Укажем, как получить ее решение. Сначала выберем наклон траектории, выходящей из точки, принадлежащей неустойчивой ветви B , так, чтобы он соответствовал положительному собственному числу. Задавая отрицательное приращение температуре частиц на этой траектории, найдем соответствующее приращение температуры газа. Взяв в качестве начальных данных полученные значения искомым функций, можно проинтегрировать уравнение, и при стремлении T_1 к T^B траектория войдет в стационарную точку, принадлежащую устойчивой ветви многообразия катастроф $T = T^A$. В случае положительного приращения температуры частиц решение, представляющее полутраекторию, будет стремиться к T^C , также являющейся устойчивым узлом.

Аналогичным способом можно построить вторую траекторию, проходящую через седло T^B до пересечения с прямыми $T_2 = 0$, $T_1 = 0$. Область, лежащую между осями и этой траекторией, обозначим D_1 , а выше — D_2 . Тогда решение задачи Коши с начальными данными T^0 из D_1 стремится к T^A , а при $T^0 \in D_2$ — к T^C . На основе вышеизложенного сформулируем

УТВЕРЖДЕНИЕ 2. Решение задачи Коши при $\alpha \in (\alpha_-, \alpha_+)$ и $T^0 \in D_1$ стабилизируется на ветви A ; если $T^0 \in D_2$ — стабилизируется на C . Имеется траектория, соединяющая неустойчивое состояние T^B с T^A и T^C . Решение задачи Коши при $\alpha \notin (\alpha_-, \alpha_+)$ стабилизируется на T^C , T^A соответственно.

ЗАМЕЧАНИЕ. Пусть $\alpha \in (\alpha_-, \alpha_+)$. Решение, проходящее через стационарные точки (T^B, T^A) , (T^B, T^C) , описывает режимы дисперсионного погасания и дисперсионного воспламенения соответственно. Решение задачи Коши с начальными данными из области D_1 может описывать как погасание, так и регулярный нагрев частиц облака; если начальные данные берутся из D_2 , то такое решение описывает воспламенение облака. Пусть $\alpha \leq \alpha_-$, тогда при начальных данных, лежащих ниже T^C , облако воспламеняется, при $\alpha \geq \alpha_+$ реализуется регулярный режим нагрева или погасания в зависимости от того, ниже или выше T^A лежит начальная точка.

Обсуждение численных результатов

Прежде чем перейти к решению прямой

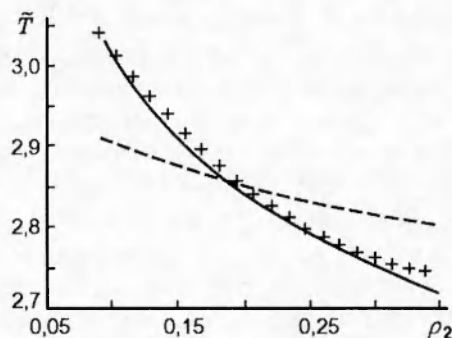


Рис. 1. Зависимость предельной температуры среды \tilde{T} от средней плотности частиц магния:

радиус частиц 5 мкм, радиус вмещающей камеры 1,5 см; + — экспериментальные данные [9], штриховая линия — их расчет с константами, определенными для описания окисления твердофазного магния в воздухе, сплошная — авторский расчет

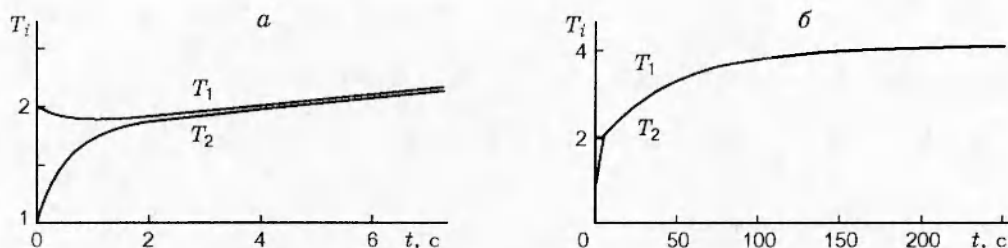


Рис. 2. Зависимость температуры частиц от времени:

a — неравновесный температурный режим в начальные моменты времени, *б* — квазиравновесный режим нагрева фаз и выход на стационарное состояние *B*

Таблица 1

Зависимость t_{ign} и α от радиуса частицы при $T_{1,0} = T_{2,0} = 1$, $\bar{T} = 3,03$, $\alpha_{-} \cdot 10^5 = 1,598$

r , мкм	0,01	0,1	1	5	6	7	8	9	10	15	16	17
t_{ign} , с	3,99	5,81	9,58	17,06	18,85	20,76	22,8	25,21	27,93	66,19	91,32	нет
$\alpha \cdot 10^5$	$9,55 \cdot 10^4$	$9,55 \cdot 10^3$	$9,55 \cdot 10^2$	0,48	0,57	0,67	0,76	0,86	0,95	1,42	1,52	---

задачи, остановимся на определении кинетических констант E , K в законе воспламенения облака. Для этого аналогично [7, 8] выпишем условия Семенова на многообразии катастроф/воспламенений для двух радиусов частиц и предельных температур окружающей среды взрывающегося облака. Эти два уравнения имеют аналитическое решение относительно неизвестных $E = 48,54$, $K = 3,054$. На рис. 1 приведена зависимость предельной температуры среды от средней плотности частиц магния, полученная на основе этих величин. На этом и последующих рисунках приведены значения температур, отнесенные к 300 К.

Далее были проведены расчеты в прямой задаче, т. е. определена тепловая динамика компонентов смеси. Как следует из изложенного выше, имеет место регулярное и катастрофическое развитие процесса нагрева облака. Так, пусть $T_{1,0} = 2$, $T_{2,0} = 1$, $r = 5$ мкм, $R_1 = 1,5 \cdot 10^{-3}$ м, $\bar{T} = 4$. Для этого случая $\alpha_{-} \cdot 10^4 = 2,3 \leq \alpha \cdot 10^{-4} = 4,43$, воспламенения нет и частицы нагреваются регулярным образом в неравновесном по температурам режиме (величина $A = nS\alpha_{12}/\alpha_1 S_1 \approx 10$ не слишком велика), как это изображено на рис. 2. В первой стадии нагрева системы газ передает тепло частицам, и потому его температура снижается (см. рис. 2, *a*), затем температуры фаз сближаются, но газ обладает большей темпе-

ратурой. Скорости изменения температур фаз при этом различаются не очень сильно, а далее фазы приходят в равновесие по температурам на нижней ветви многообразия воспламенений. Это изображено на рис. 2, *б* в более поздние моменты времени.

Уменьшение радиуса камеры до $R_3 = 1,5 \cdot 10^{-4}$ м приводит к исчезновению зоны понижения температуры газа, что обусловлено ускорением прогрева меньшего объема газа, время релаксации температур при этом около 4 мс.

Установим, описывает ли данная математическая модель воспламенения облака магния наблюдаемый в [9] масштабный фактор, т. е. уменьшение предельной температуры воспламенения в системе при увеличении ее размера. Это положение можно проиллюстрировать такими расчетными данными. Пусть $\bar{T}_{1,0} = 2$, $T_{2,0} = 1$, тогда для $R_3 = 1,4$ см воспламенение наступит в интервале $\bar{T} \in (832,835)$ К, а при $R_3 = 1,5$ см облако воспламеняется при $\bar{T} \in (823,825)$ К.

Изучим влияние радиуса частиц на время задержки воспламенения t_{ign} . Расчеты проведены для различных радиусов частиц (см. табл. 1) и при постоянном значении средней плотности частиц. В третьей строке таблицы приведена безразмерная характеристика процесса, определяющая наступление воспламенения

Таблица 2

Зависимость t_{ign} и α от температуры окружающей среды при $T_{1,0} = 2, T_{2,0} = 1, R_3 = 1,5$ см

T	2,67	3,03	3,17	3,3	3,5	3,67	4
t_{ign}, c	Нет воспламенения	14,86	11,66	9,34	7,86	6,8	5,44
$\alpha \cdot 10^5$	1,6	2,57	4,4	7,11	10,96	23,05	0,32

в системе при $r \leq 17$ мкм; при $r \geq r_* \geq 17$ мкм воспламенения в системе не наблюдается. Это обусловлено тем, что коэффициент, описывающий конвективный теплообмен, пропорционален r^{-2} , т. е. убывает с ростом радиуса частицы. Как следствие, затягивается нагрев частиц до температур, при которых заметно тепловыделение от химической реакции, в результате увеличивается время задержки воспламенения.

Изучалось влияние температуры окружающей среды на время задержки воспламенения. Результаты расчетов приведены в табл. 2. Очевидно, что при недостаточно высокой температуре инициирования не происходит воспламенения в системе (первый столбец табл. 2), с ростом T предвоспламенительный период сокращается.

Для определения зависимости тепловой динамики облака от начальной температуры газа последняя величина варьировалась. Результаты приведены в табл. 3. Поведение температур фаз таково. При одинаковых начальных температурах фаз газ, нагревающийся от стенок камеры, передает тепло частицам, при этом фазы приходят практически в равновесие по температурам. Это связано с тем, что нулевая изоклина уравнивания энергии газа позволяет определить $\Delta T_1 = A\Delta T_2 / (1 + A)$, где $A = nS\alpha_{12} / \alpha_1 S_1$. Поскольку в этих расчетах $A \gg 1$, температура газа становится близкой к температуре частиц, а затем в равновесном по температурам режиме облако частиц воспламеняется.

Аналогична реакция облака на предварительный подогрев частиц, т. е. при изменении начальной температуры $T_{2,0}$. Так, при $r =$

5 мкм, $T_{1,0} = 1$ время задержки воспламенения равно соответственно 9,55; 9,21; 8,84; 8,71; 8,43 для $T_{2,0} = 300, 600, 900, 1000, 1200$ К. Зависимость времени индукции от содержания частиц в облаке приведена на рис. 3. Как видно, с ростом ρ_2 при прочих постоянных условиях значение t_{ign} падает. Это обусловлено увеличением теплообмена от газа к частицам на первой конвективной стадии процесса теплообмена, а также увеличением тепловыделения за счет химической реакции.

Увеличение радиуса реакционной камеры приводит к установлению адиабатического процесса воспламенения. Действительно, увеличение R_3 на порядок, начиная с равного 15 см, приводит к временам индукции 21,27; 23,26; 23,28; 23,28, при этом температура газа 900, а окружающей среды 1 050 К. В то же время число Нуссельта при типичных размерах камеры, используемой в [9], не оказывало влияния на протекание воспламенения. Это связано с тем, что $A \gg 1$ и эффективный коэффициент теплопередачи смеси перестает зависеть от закона теплообмена между газом и частицами.

Изучалось влияние выделения тепла в обеих фазах. В частности, при $\sigma = 0$, что соответствует выделению тепла только на частицах, $t_{ign} = 9,55$. При возрастании σ время задержки воспламенения возрастает, вплоть до того, что

Таблица 3

Зависимость t_{ign} от начальной температуры газа при $T_{2,0} = 1, T = 3,5, \alpha \cdot 10^5 = 0,48, R_3 = 1,5$ см

$T_{1,0}$	1	2	3	3,5	4
t_{ign}, c	9,55	7,86	5,06	2,87	1,07

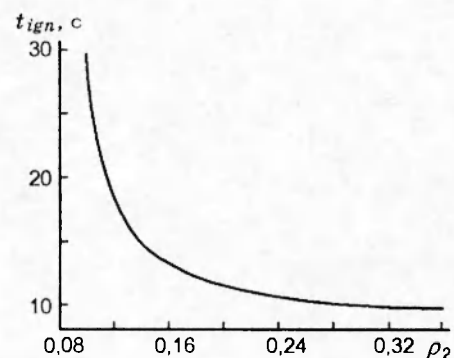


Рис. 3. Зависимость времени задержки воспламенения от средней плотности частиц

частицы облака не воспламеняются. Так, для $\sigma = 0,5; 0,6; 0,7; 0,8$ соответственно $t_{ign} = 11,9; 12,9; 14,6; 17,83$. Если же $\sigma = 0,95$, то облако не воспламеняется.

ВЫВОДЫ

Предложена распределенная математическая модель воспламенения газозвеси частиц металлов, принимающая во внимание тепловыделение в обеих фазах.

В рамках точечного приближения этой модели получены условия существования различных типов тепловой динамики газозвеси, определены кинетические константы в эмпирическом законе роста оксидной пленки, что позволило описать экспериментальную кривую зависимости предельной температуры среды от средней плотности частиц в облаке магния.

Численно показано, что при малых размерах объема, вмещающего облако частиц реализуется неравновесный по температурам регулярный режим нагрева смеси, асимптотически приводящий к равновесному состоянию, расположенному на нижней ветви кривой катастроф/воспламенений, а при увеличении этого размера реализуется режим воспламенения.

Количественно и качественно установлено, что при прочих фиксированных параметрах системы существует предельное значение радиуса частицы облака r_* ; что при радиусах, меньших этого значения, облако воспламеняется, а при больших — в нем реализуется режим регулярного нагрева.

Увеличение доли тепла, выделяющегося в газе, приводит к регулярному режиму нагрева частиц облака.

Работа выполнена при финансовой поддержке Российского фонда фундаментальных исследований (код проекта 96-01-01886).

ЛИТЕРАТУРА

1. Медведев А. Е., Федоров А. В., Фомин В. М. Описание воспламенения и горения газозвесей методами механики сплошной среды // Физика горения и взрыва. 1984. Т. 20, № 2. С. 3–9.
2. Boiko V. M., Fedorov A. V., Fomin V. M., et al. Ignition of small solid particles behind shock waves // Shock Waves, Explosions, and Detonations / Progress in Astronautics and Aeronautics / J. R. Bowen, N. Manson, and R. Soloukhin. (Eds). 1983. V. 87. P. 71–87.
3. Kazakov Yu. V., Fedorov A. V., Fomin V. M. Mathematical modeling of ignition in dusty gases // Arch. Combust. 1987. V. 7, N 1–2. P. 7–17.
4. Fedorov A. V., Fomin V. M. Mathematical modeling of ignition of aerosuspension // Intern. Colloquium on Advanced Computation and Analysis of Combustion. Moscow, Russia, May 12–15, 1997.
5. Нигматулин Р. И. Динамика многофазных сред. М.: Наука, 1987. Ч. 1, 2.
6. Руманов Э. И., Хайкин Б. И. Критические условия самовоспламенения совокупности частиц // Физика горения и взрыва. 1969. Т. 5, № 1. С. 129–136.
7. Федоров А. В. Физико-математическое моделирование воспламенения мелких частиц магния. Новосибирск, 1993. (Препр. / РАН. Сиб. отд-ние. ИТПМ; № 12-94).
8. Федоров А. В. Численно-аналитическое исследование воспламенения частиц магния // Физика горения и взрыва. 1996. Т. 32, № 1. С. 75–84.
9. Мацко А. М., Копейка К. М., Полищук Д. И. и др. Влияние внешнего теплоотвода на критические условия воспламенения газозвеси частиц магния // Физика аэродисперсных систем. 1980. № 20. С. 53–56.

Поступила в редакцию 29/IX 1997 г.